

22 東播海岸の浸蝕について

兵庫県土木建築部 小林嘉道

1 東播海岸とは

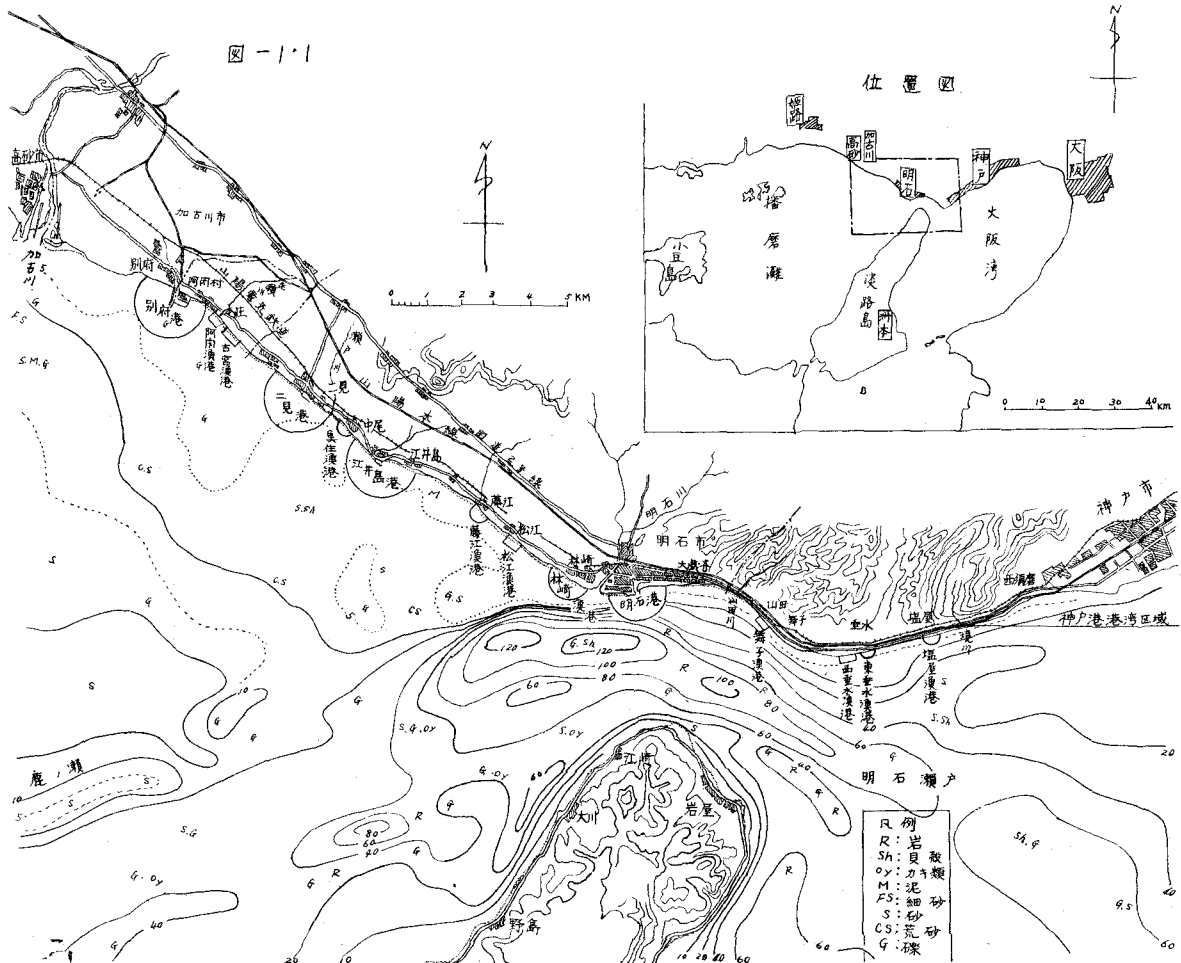
1.1 区域 (図-1.1 参照)

大阪湾と播磨灘との境界である明石海峡を中心とする区域で、神戸港の港湾区域西端の境川河口より神戸市垂水区、明石市を経て、加古郡阿閉村在瀬川河口に至る延長約25kmの海岸をいう。此の区域を海岸法上分類すると、表-1.1の如くな。

表-1.1

| 区分 | 港数 | 延長(km) | 主務省 | 管理者 |
|------|-----|--------|-----|-------------------------------|
| 一般区域 | | 約 13.9 | 建設省 | 兵庫県 |
| 港湾区域 | 3港 | 約 5.9 | 運輸省 | 兵庫県 |
| 漁港区域 | 10港 | 約 5.1 | 農林省 | 神戸市(4港) 明石市(4港) 阿閉村(2港) |

図-1.1



1・2 地勢

神戸市垂水区約7.6 kmは六甲山脈の西部が海に迫り、狭い海岸に国道2号線、国鉄山陽本線、私鉄山陽電鉄（共に複線）が走り、此間わずかな細長い土地に塩屋、垂水、舞子等の住宅街と公園があり、その地先に四つの第1種漁港がある。

明石市に入ると山は台地となり且つ海より約1 km後方に退き、その間に市街地が密集発達し西方明石川に至る。尚この地先に淡路島との最短連絡港たる地方港湾明石港があり般賑を極めている。明石川は流域面積125.6 km²の準用河川で、砂防工事が発達し河床低下の傾向が顕著で海岸漂砂の補給源としては期待出来ないが、河口の東方明石港口間にはかなりの砂浜が残存する。

林崎漁港（第2種）より西方二見港（地方港湾）までの海岸には高さ約15 mの断崖が連り、断崖上の平地には山陽電鉄線に沿って、林、松江、藤江、谷入木、八木、江井、島中尾、西岡、二見等の集落が連り、酒、瓦、ゴム、その他多くの中小工場が発達し、集落間に水田が開けている。尚この間には酒、瓦工業に密接な關係を持つ江井島港（地方港湾）と三つの漁港（第1種）がある。

二見港より西方阿門村庄瀬川に至る間に上記断崖は次第に低く且つ傾斜もゆるやかになり海側に礁が多いかなりの浜地がある。台地上には二見、西二見、古宮の集落があり此の間に水田が開けている。庄瀬川より西方約6 kmに加古川が流入している。加古川は流域面積190.5 km²の大河川であるが既改修河川であり、上流は砂防工事が大規模に施工され河口附近は河床低下の傾向が見られ、今後の砂防事業の推進に伴い本川がら海岸漂砂の補給は殆んど期待出来ない。

1・3 地質

神戸市垂水区塩屋、垂水附近は第三紀中新層の上に洪積層（又は段丘層）が被覆し、舞子附近は上部に砂礫層があり此と不整合に粘土、砂、礫からなる若い地層がある。明石以西は第三紀鮮新層（明石層群）の上に不整合に洪積層（播磨層群）が被覆している。明石層群は一般に古く粘土層は硬化して軟岩状をなす「なめど」こと呼ばれ、断崖の下部又は海底を形成してより堀削しにくく層状に剥離する傾向がある。播磨層群は一般に軟かく断崖の上部を形成し浸蝕されやすい。

1・4 水深と底質

大阪湾では淡路島よりに海は深く約60 mの深部があり東岸に向つて傾斜は緩かであるが西岸には急である。底質は一般に細かく神戸港附近では泥が多い。明石と淡路島の間の明石海峡は巾約3.8 kmで最深部は159 mに及び銳いV字状をなしている。海峡の中央以東では流心は畠々東西に延び、最深部も海峡の中央を通つて南北岸に対象的なV状をなしているが海峡の西では流心は南西方に曲り、最深部は北岸により、傾斜も北岸の方に急になつていて、海峡部の底質は岩の露出しているところが多いが淡路島よりに近づくに従ひ砂、砂利がみられる。海峡の流心の西岸に沿つて明石川河口から畠々南西に伸び鹿の瀬に達する細い浅瀬がある。鹿の瀬は最も浅いところでは水深5 m以下で底質は砂又は細砂である。この浅瀬の西側の播磨灘では等深線は畠々陸岸に平行し平均勾配は1/40、海岸より10 km以

遠では水深は畳々一定し 20 ~ 30 m となつてゐる。しかし海岸附近では松江、二見間と二見以西でかなり趣を異にしてゐる。

即ち松江、二見間の断崖地帯では 5 m の等深線は海岸より数百米の位置にあるが二見附近から急に沖に出て海岸より 4 km となり、西方に行くに従ひ再び陸岸に接近し、別府港では約 2 km となる。海岸附近の底質も二見以西では荒く砂礫が多いが、二見以東では江井島附近で最も細かく（平均粒径 1 mm）東方に行くに従つて荒くなる傾向がある。陸岸を離れた播磨灘では西方に行くに従つて細かくなる傾向がある。

1.5 海浜の横断型状と底質

各地区毎の代表的横断型状を図-1.5-1に示す。大藏海岸と谷入木海岸が最も砂堆が発達しており、従つて此の地区が最も海底変動が激しいと思はれる。又砂谷の深さは護岸築造の場合根入深さを決定する上に考慮すべきことである。尚過去数回の測量の結果約 3 m 以深は殆んど変化がない様である。

水中部の底質は図-1.5-1の通りあまり変化なく、特に砂堆より冲側では何所も 0.3 ~ 0.6 mm 程度で殆んど一定してゐる。

汀線砂の粒度分布は図-1.5-2に示す。大藏海岸、林崎港～江井島港、江井島港～二見の三地区に大別され、夫々西側が小さく東側が大きく、最大 10 mm を越へるものがある。之は突出部の影響が表はれていゝと思はれる。

図-1.5-2 汀線砂粒度分布図

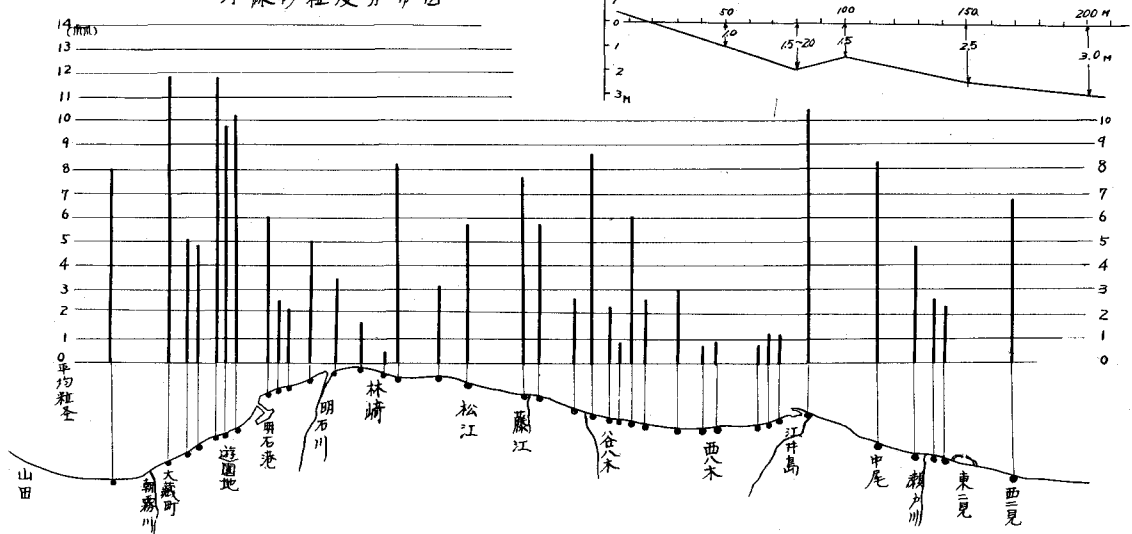
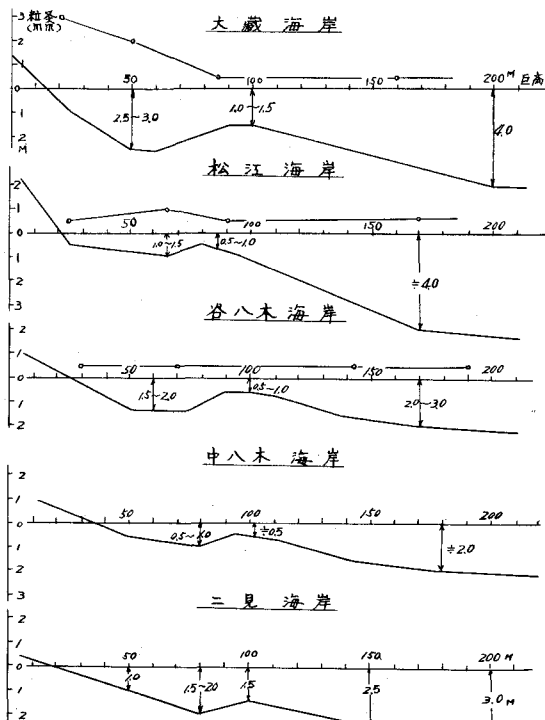


図-1.5-1 海浜横断図



1.6 海象

(1) 風 一明石では冬、北～西の風が多く、夏には西～南の風が多くなる。10%以上以上の強風の風向は南～南東が多く約40%に及んでいる。別府では冬西及び北東の風が強く夏南～南東及び北東の風が多い10%以上の強風は西が約30%を占め、次いで南～南東が合計で30%に及んでいる。風の強いのは冬季の季節風と夏季の台風であるが頻度は断然冬季に多く春先の日本海で低気圧が発達するときも強い。

(2) 潮汐 一明石海峡より瀬戸内一帯は月潮不等が大きく月の中半数は1日1回潮で、特に明石では顕著であつて日周期の最大潮差は10.0cmで半周期の最大潮差6.0cmの約1.7倍に及んでいる。これは日周期が進行波の性質をもつたに対し、半日周期が明石を節奏とする定常波的性質をもつているためと考へられる。しかし神戸室津間の潮位差では半日周期は大きく、日周期はその0.3倍程度となる。

(3) 潮位 一明石港における大正9年～13年の統計による平均満潮位、平均干潮位は夫々基準面(東京湾中等潮位下1.045m)上1.732m、0.362mである。又台風時の異状潮差は室戸台風で1.90m、ジェーン台風で1.00mであった。

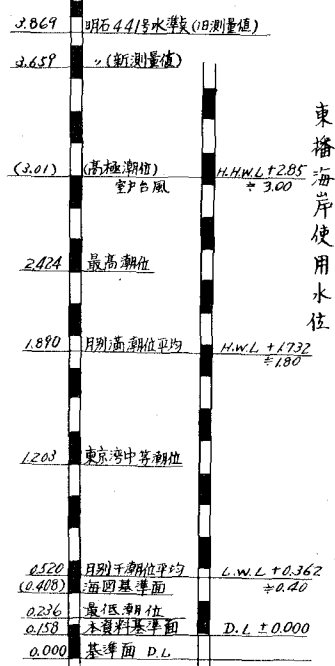
(4) 潮流 一潮汐の日潮不等は顕著であるが、潮流は1日2回転流し明石瀬戸では高潮後3時間から西流が起り、次の高潮後3時間で東流となる。流速は流心部で大潮時4.5kt(約2.2‰)に及ぶ。播磨灘では西方に行くに従い高低潮時から転流までの時間は短くなる。又江井島、林崎沖での潮流観測では海岸近くでも潮流はかなり早く、水深方向の流速の変化が小さいことは注意を要する。

(5) 波 一対岸の淡路島の関係から明石瀬戸と播磨灘では波の様子は相当異なることが考へられる。明石瀬戸の東方では、南東方向の吹送距離が大きく約3～40kmであるが、海峡部では南西及び南東方に大きく南方に小さい。播磨灘では西方に対し急に長くなる。従って明石瀬戸東方では南東風に、海峡部では南東及び南西風、播磨灘では西風の影響が大きい。

1.7 災害

兵庫県災害誌によると西暦674年より同1854年迄に当地に影響した異状気象の中残存する記録は20に及び明治以後は、明治年間46回、大正年間14回、昭和年間44回(31年迄)合計106回の異状気象が当海岸に災害を与へている。以上の中当地に明かに大被害を生じたもの16回を算へることが出来る。昭和20年以降29年迄の公共災害復旧費は1.6億円(昭和29年物価に換算)年平均約1.6千万円である。

図-1.6



2 浸蝕状況と原因

2.1 浸蝕状況

(1) 古文書による記録 一当地に大きな砂浜があつたことは奈良朝時代(1232年前)に山部赤人の歌にあらわれており、延宝年間(約260年前)に明石藩主松平信之が谷入木海岸に砂防植林をした記録があり、享保年間(約200年前)の明石城下図に現在の明石港口東方に大きな巾の松林と砂浜があつたことが推察され、又文化元年(154年前)の大藏町附近の写生画によると現在の民家の海側に同様の松林、砂浜があつたことが証明される。嘉永6年(105年前)の谷入木・長光寺の過去帳によると現在の位置より西南約500mの海中に当時の寺があつたことになる。

(2) 地籍図並に漁師の言

明治末期の地籍図と現在の海岸線を比較すると、図-2.1-1の如く海岸線の後退は年平均1~1.5mとなる。

又30~40年前に築造された護岸の中良好な維持によつて現存するものについてその根入の露出状況を示すと図-2.1-3の如く30年~40年間に2m程度浸蝕されたことがわかる。

(3) 実測図による資料

昭和5年、25年並びに31年に平面測量が行はれているが5年と25年の平面図を重ねてこの間20年間の汀線後退量を示すと図-2.1-2の如くなる。東江井の後退量が大きいのは江井島港が突出しているためと考へられる。

2.2 土砂の補給源

海岸漂砂の補給源としては本区域西端より西方6kmの加古川と明石川の二河川以外は見るべきものはない。

加古川 一昭和29年と31年に測量した河口の深式図を比較して見ると河口の東側に小規模の洲が見られるが29年にくらべ31年には-1m及び±0mの等深線が陸側に移動している。

又河道内では河床が全体に低下し特に橋脚及び床止めに明かにその根跡が見られ、又この事実は昭和10年頃より砂防事業が個別化も増加し質的にもダム工事が多くなっている事実からもうなづかれる。以上諸点より加古川の送流土砂は年々減少し、従つて海岸の土砂

図-2.1-1

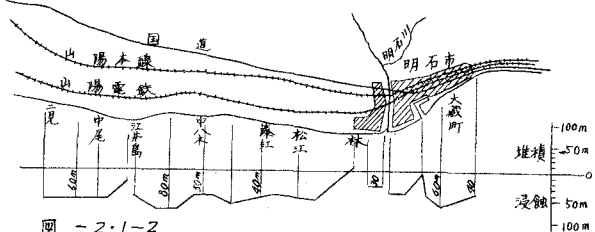


図-2.1-2

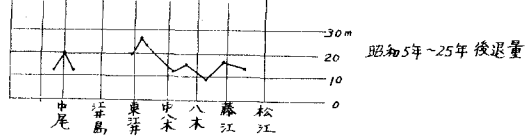
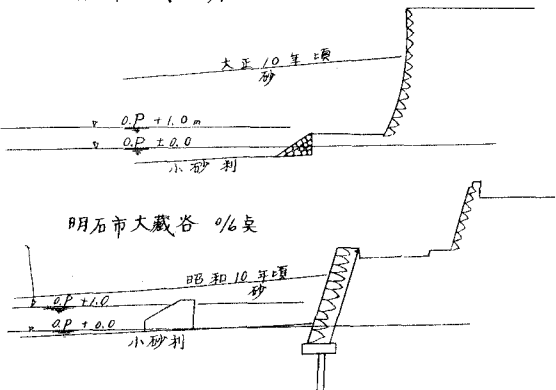


図-2.1-3

明石市大藏谷 96段 (昭32.6.21実測)



補給源として期待することは困難である。

明石川 一昭和5年と26年に河口部を測量した痕跡があるが加古川の場合と異り、昭和5年当時でも河川洲が認められず-2m以浅の深浅が陸側に移動しており横断図を比較してみると5年～26年の間に海底は平均約60cm低下している。河直内でも河床が低下しており、その顕著な例として、河口より約1km上に山陽電鉄線の旧橋脚があるが此は橋脚を移転當時、元の橋脚を当時の河床面又はそれ以下で切削したもので、現在は河床から50cm程度露出している。又砂防事業は加古川より小規模ではあるが、同じく昭和10年より箇所数は増加している。

以上の諸点より明石川は加古川より更に送流土砂が少く、且つ年々減少すると考へられ海岸の土砂補給源としては期待出来ない。

2.3 漂砂の移動方向

(1) 構造物による判定 一昭和26年～27年に施工した四地区の突堤群について汀線の変化を調査した。

a. 大蔵海岸 (図-2.3-1) 一昭和27年8月では汀線は突堤の東側がはるかに西側より前進したところがあり汀線の法線方向は大体南である。28年3月には西側が東側より前進し法線方向はSSW～SWである。同8月には冬の傾向を完全に打ち消してはないが突堤の両側に於ける汀線の相異は小さくなり法線方向も畳々南にもどつている。

要するに夏季の漂砂の移動方向は東より西に向い、支配的波の方向は南であり、冬季は西より東へ向い、波の方向はSSW～SWである。

本地區の特徴は夏季と冬季と傾向が明瞭に分かれていることである。

b. 松江海岸 (図-2.3-2)

前述の地区と畳々同様の傾向が見られるが、夏季の汀線の法線方向が畳々SW、冬季のそれはWSWで、前述の大蔵海岸と比べて波の方向が西向きに偏つてあり、又汀線が夏季に前進し、冬季に後退する傾向が著しい。

c. 谷入木海岸 (図-2.3-3)

汀線が夏季に前進し、冬季に後退することは前述の海岸と同じであるが夏季冬季を通じて突堤の西側が東側より前進しており、又汀線の法線方向は年間を通じて畳々SWである。即ち夏季でも波向はSSWと西に偏つてあり、従って漂砂は年間を通じて西より東へ向っていると考へられる。

図-2.3-1 大蔵谷海岸

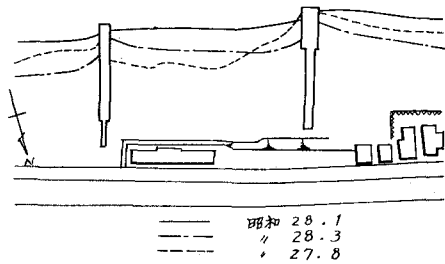


図-2.3-2 松江海岸

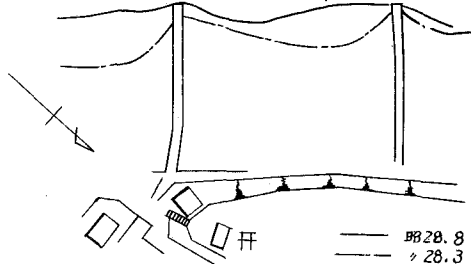
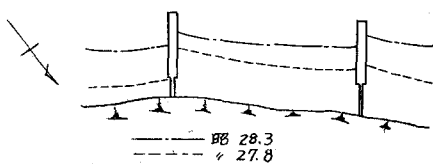


図-2.3-3 谷入木海岸



d. 中八木海岸 (図-2・3-4)

当地区の海岸の法線が SSW で 谷八木の SW にくらべ 南方向に偏していることが影響して、夏季の汀線はいくつも南に傾く傾向がある。此は海岸線が南に偏していること、すぐ西側に江井島港が突出してその陰になることにより、西からの波が弱められるためと思われる。

以上 4 地区の状態を要約すると、漂砂の方では大藏海岸では 夏季は東から西へ、冬季は西から東へ向うが、林崎漁港より西へ行くに従つて夏季の西向きの流れが弱まり、谷八木以西では年間を通じて西から東へ向う。此は林崎漁港を境として海岸線が大きく曲り、東側はほぼ南に面するに對し、西側はほぼ南南西に面し方向がかなり異なることと、淡路島その他地形的條件が異なることが海岸に対する外力の性質を変化せしめていゝたまである。

(2) 粒度による判定 一前述の通り林崎漁港以西では漂砂は西より東へ向うが、此は平面圖の底質分布の状態でもうかがわれる。即ち汀線の粒度は、二見港以西では砂利、以東では砂となつてゐるが、これは加古川より流出した砂利が東に移動したことを物語つてゐる。

(3) 風の特性による判定 一大藏海岸のみは海岸線がほぼ東西に走り大阪湾に向つて開けていゝが、林崎漁港以西は海岸線が東南東から西北西に走り播磨灘に面してあり、しかも南から東南東にかけては淡路島にしやへいされてるので、両地区で風の特性が異つてしまふものと考へられる。従つて大藏海岸に対しては明石の風を、林崎以西については別府の風を分析してみる。

風資料の中 5%以上の海風のみを取り出し、それを海岸線の法線方向によつて東向きの漂砂を生ずる成分と、西向きの漂砂を生ずる成分とに分ける。大藏海岸では、明石の (ESE, SE, SSE, S) の方向の

風が西向き成分 (SSW, SW, WSW,

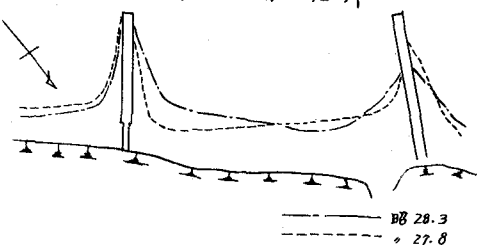
W, NW) の方向の風が東向き成分となり、林崎以西では、別府の (ESE,

SE, SSE, S, SSW) が西向き成分、(SSW, SW, WSW, W,

NW) が東向き成分となつてゐる。各月の西向き成分と東向き成分の風回数の代数和は漂砂の移動方向とその強度を示す指標と考へられる。但し大藏海岸及び、

林崎以西海岸共、表-2・3 の如く方向によつて対岸距離が甚だしく異な故、

図-2・3-4 中八木海岸



BB 28.3
BB 27.8

— BB 28.3
- - - BB 27.8

表-2・3

| 地名 | 方 向 (西向き成分) | 対岸距離 (KM) | 方 向 (東向き成分) | 対岸距離 (KM) |
|------|----------------|--------------|----------------|--------------|
| 大藏海岸 | ESE | 38 | SSW | 49 |
| | SE | 38 | SW | 61 |
| | SSE | 38 | WSW | 74 |
| | S | 34 | W | 0 |
| 二見海岸 | ESE | 0 | WNW | 43 |
| | SE | 15 | W | 30 |
| | SSE | 18 | WSW | 51 |
| | S | 19 | SW | 69 |
| | SSW | 41 | SSW | 40 |
| 八木海岸 | ESE | 0 | WNW | 47 |
| | SE | 7 | W | 34 |
| | SSE | 9 | WSW | 54 |
| | S | 11 | SW | 73 |
| | SW | 19 | SSW | 19 |

風圧数を計算するに当つては、対岸巨離について重み附平均をとることが必要である。

大藏海岸では東向き成分の対岸巨離の総和と西向き成分のそれとはほぼ等しいから重みは1:1でよい。然し林崎以西では東向きと西向きの比率は約4:1であるので西向き成分を4%として計算すべきである。此の様にして求めた風の圧数差を図-2・3-5に示す。

明石では10月～2月の間は東向き成分が大きく、3月～9月の間は西向き成分が大きい。然し年間を通じて東向き成分が大きい。

別府では9月にわずかに西向き成分が残る以外は年間を通じて東向きが卓越している。然し10月～3月にくらべ4月～9月の間は強度が小さい。此の特性は前述の構造物による漂砂の移動方向の判定と全く一致している。

2・4 流れの特性

(1) 潮流 一陸岸近くの潮流については昭和25年6月に明石港口、林崎港口、藤江地先、江井島港口附近で調査したが1例として林崎港口の調査について検討してみる。此の時の明石の潮差は約45cmで小潮であるが表面の潮流流速は西流及び東流とも0.6‰。水深3.5mの水底近くでも0.4‰におよび、しかも表面と水底との流速の差はごく少ない。水底の流速を0.4‰としてこれが移動し得る砂粒半径を求めれば

$$d_m = 2.5 u^2 \quad \dots \dots \dots (1)$$

$$d_m = \text{砂粒半径 (mm)} \quad u = \text{流速 (\%sec)}$$

から $d_m = 0.44 \text{ mm}$ となる。一方この海岸の砂粒半径は水深2～4mのところで0.3～0.6mmであるから、小潮においても潮流の最盛期には海底の粒子は移動の限界状態にあり、これに波による流れが加われば盛な移動を開始することになる。

(2) 風浪による流れ 一昭和26年1月に二見で行った観測より風浪による流れを見積つてみる。

この日10時～16時の間風速約10m。風向WNWの風が吹き続いた周期4sec。波高1～1.5mの波がW方向からおしよせた。この際海岸附近で観測した流れは図-2・4の如くで波高と共に流速がまし。12時頃に流速は最大となり、0.6‰程度に達した。

またこの流れの方向はSEでほぼ海岸に平行に西から東へ向つていた。一方この時の二見沖における潮流は16時頃が最盛期

図-2・3-5 10‰sec以上の風の圧数差

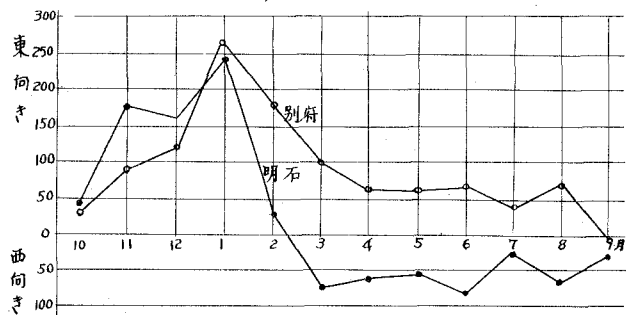
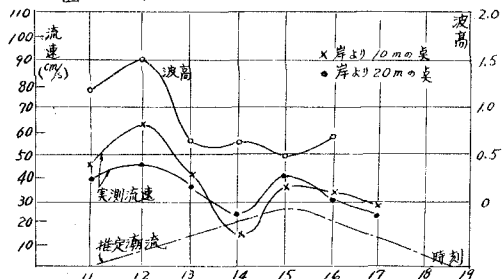


図-2・4



で海岸近くの流れとは明らかに趣を異にしている。二見沖での潮流にあわせて海岸近くの潮流を推定すると図中の実線の如くなる。流れの実測値と推算潮流との差は波によつて生じた流れであり、その速度は11~12時頃には約0.5‰に達している。前項に述べた通りこの海岸の砂粒子は平時の潮流0.4‰と漸く均衡する程度の大きさであり、これに波が加わるとときは、波高1.0~1.5mの波で更に0.5‰程度の流れが加わるので直ちに均衡状態は破れ盛に移動と始め海岸の浸蝕が激化することになる。

3. 対策事業

3.1 外力

(1) 波 明石および別

表-3.1

在の風資料から、強風の風速と吹送時間を求めS.M.B法で、波を推定すと表-3.1の如くなり、これを参照して

大藏海岸の計画波は
波高 3.3m 周期 6.5sec
林崎以西については
波高 3.0m 周期 6.0sec
をとる。

| 大藏海岸 | | | | | 林崎以西海岸 | | | | |
|------|--------------|-----------|-----------|-------------|--------|--------------|-----------|-----------|-------------|
| 方向 | 対岸E離 (km) | 風速 (‰) | 波高 (m) | 周期 (sec) | 方向 | 対岸E離 (km) | 風速 (‰) | 波高 (m) | 周期 (sec) |
| ESE | 38 | 20 | 3.3 | 6.5 | ESE | 0 | — | — | — |
| SE | 38 | 10 | 1.0 | 4.0 | SE | 11 | — | — | — |
| SSE | 38 | 10 | 1.6 | 5.0 | SSE | 18 | 25 | 3.0 | 6.0 |
| S | 3 | — | — | — | S | 19 | 20 | 2.3 | 5.5 |
| SSW | 4 | — | — | — | SSW | 41 | 15 | 2.7 | 5.5 |
| SW | 61 | 10 | 1.0 | 4.0 | SW | 69 | 10 | 1.0 | 4.0 |
| WSW | 74 | 10 | 1.0 | 4.0 | WSW | 51 | 12 | 2.2 | 5.7 |
| W | 0 | — | — | — | W | 30 | 10 | 1.5 | 4.5 |
| WNW | 0 | — | — | — | WNW | 43 | 10 | 1.0 | 4.0 |

(2) 潮位

計画基準面はすべて東京湾中等潮位下、1.045mを採用し明石港の検潮記録による

平均満潮位 +1.732m = +1.80m

平均干潮位 +0.362m = +0.40mとした(図-1.6参照)

又室戸台風時の高極潮位は+2.85mでこれは上記の平均満潮位(+1.80m)にジエン台風時の異状潮差(+1.00m)を加へたものに近い等しく

計画高潮位は+3.00mとした。

3.2 工法

対策としては、浸蝕防止に直接効果のある護岸工を主体とし、波の勢力を減退し護岸の去尻の洗くつを防止する対策として平行防砂堤を合せ施行するという方針とする。
在来護岸のある個所については、その根固補強と平行堤を設ける。又平行堤は底質が相当厚い砂床である場合は捨石工法が最も有利と考へられ「ナメドコ」が露出し或はその上の砂礫層の若い場合は、コンクリートブロック工法を採用したい。但しその構造配置等細部の設計には水理実験を行い、その結果により施工すべきであると考へている。

各工区別の計画工法の概要は次の通りである。

(1) 神戸市垂水区

在来護岸の根固め補強と、平行堤を設ける。

(2) 明石市大蔵町、相生町。
護岸のない地区は、護岸を新設し、在来護岸は根固補強を行い、合せて平行堤を設け3..

(3) 明石市林崎以西阿門村
まで（西ニ見を除く）
殆んど護岸がないのでこれを新設すると共に、平行堤を設けるがこの地区には「コンクリートブロック」が効果的だろうと考へられる。

(4) 明石市西ニ見

この地区はせまい下り砂浜が残つてゐるので、防砂突堤群により漂砂の変動を防ぐ得ると考へられるので、護岸、平行堤は計画しない。

3-3 事業費

前述の対策工事を実施するものとして、事業費の概算を計算してみると表-3-3の如くなる。

計画断面図

図-3-2

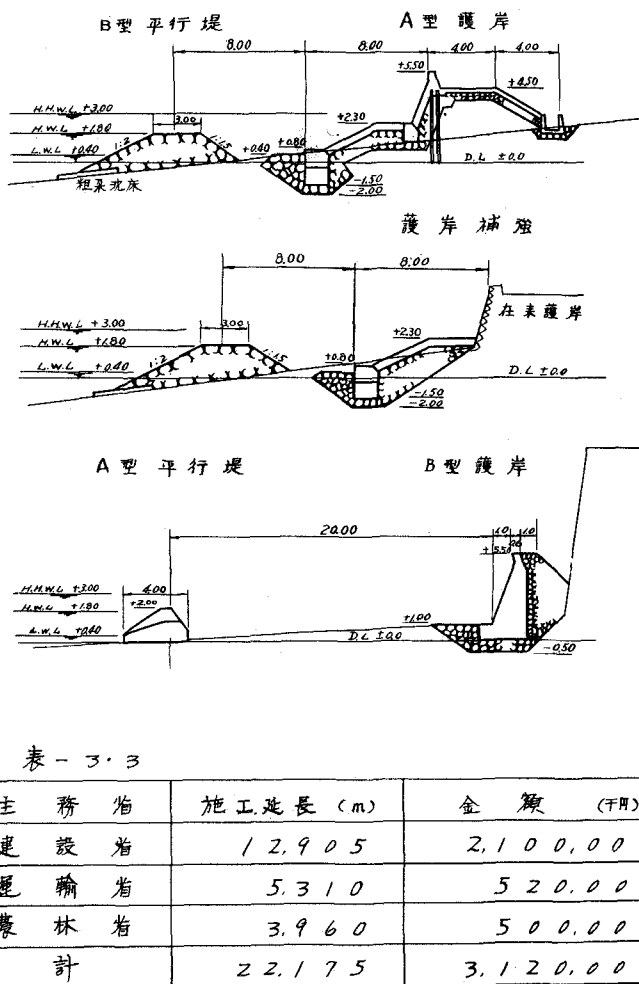


表-3-3